

文章编号: 1000-324X(2019)12-1301-08

DOI: 10.15541/jim20190076

# 高质量水系钠离子电池正极 $\text{Fe}_4[\text{Fe}(\text{CN})_6]_3$ 的合成及其电化学性能

王武练<sup>1,2</sup>, 张军<sup>2</sup>, 王秋实<sup>2</sup>, 陈亮<sup>2</sup>, 刘兆平<sup>2</sup>

(1. 昆明理工大学 材料科学与工程学院, 昆明 650000; 2. 中国科学院 宁波材料技术与工程研究所, 动力锂电池工程实验室, 宁波 315201)

**摘要:** 采用水热法合成高质量的  $\text{Fe}_4[\text{Fe}(\text{CN})_6]_3$ (HQ-FeHCF)纳米材料, 并对材料进行 X 射线衍射(XRD), 扫描电子显微镜(SEM), 透射电子显微镜(TEM)和热重分析测试(TGA)等表征。结果表明:  $\text{Fe}_4[\text{Fe}(\text{CN})_6]_3$  呈规则立方体, 颗粒大小约 500 nm, 属面心立方结构。 $\text{Fe}_4[\text{Fe}(\text{CN})_6]_3$  在  $\text{NaClO}_4\text{-H}_2\text{O}$ -聚乙二醇电解液中 1C、2C、5C、10C、20C、30C 和 40C 的容量分别为 124、118、105、94、83、74 和 64  $\text{mAh}\cdot\text{g}^{-1}$ , 表现出优异的倍率性能; 以 5C 倍率循环 500 次, 容量保持率接近 100%, 表现出极佳的循环稳定性。以  $\text{Fe}_4[\text{Fe}(\text{CN})_6]_3$  和磷酸钛钠分别为正负极的全电池工作电压高达 1.9 V, 能量密度可达 126  $\text{Wh}\cdot\text{kg}^{-1}$ ; 以 5C 倍率恒流充放电测试 140 次后全电池容量保持率为 92%, 且库伦效率始终接近 100%。

**关键词:** 水系钠离子电池; 正极材料; 立方结构; 能量密度

中图分类号: TQ174 文献标识码: A

## High-quality $\text{Fe}_4[\text{Fe}(\text{CN})_6]_3$ Nanocubes: Synthesis and Electrochemical Performance as Cathode Material for Aqueous Sodium-ion Battery

WANG Wu-Lian<sup>1,2</sup>, ZHANG Jun<sup>2</sup>, WANG Qiu-Shi<sup>2</sup>, CHEN Liang<sup>2</sup>, LIU Zhao-Ping<sup>2</sup>

(1. College of Materials Science and Engineering, Kunming University of Science and Technology, Kunming 650000, China;  
2. Advanced Li-ion Battery Engineering Lab, Ningbo Institute of Materials Technology and Engineering, Chinese Academy of Sciences, Ningbo 315201, China)

**Abstract:** High-quality  $\text{Fe}_4[\text{Fe}(\text{CN})_6]_3$  (HQ-FeHCF) nanocubes were synthesized by a simple hydrothermal method. Its structure, morphology and water content are characterized.  $\text{Fe}_4[\text{Fe}(\text{CN})_6]_3$  exhibits regular cubic shape with a uniform size of ca. 500 nm, which belongs to the face-centered cubic phase.  $\text{Fe}_4[\text{Fe}(\text{CN})_6]_3$  shows discharge capacities of 124, 118, 105, 94, 83, 74 and 64  $\text{mAh}\cdot\text{g}^{-1}$  at 1C, 2C, 5C, 10C, 20C, 30C and 40C rate, respectively, in the aqueous ternary electrolyte of  $\text{NaClO}_4\text{-H}_2\text{O}$ -Polyethylene glycol. Its capacity retention remains 100% after 500 charge/discharge cycles at the rate of 5C. The full battery with  $\text{Fe}_4[\text{Fe}(\text{CN})_6]_3$  as cathode and  $\text{NaTi}_2(\text{PO}_4)_3$  as anode was fabricated, which delivers a specific energy density of 126  $\text{Wh}\cdot\text{kg}^{-1}$  (based on the active electrode materials) with a voltage output of 1.9 V. Furthermore, 92% of its initial discharge capacity retains after 140 charge/discharge cycles at a rate of 5C, and its Coulomb efficiency is close to 100%.

**Key words:** aqueous sodium-ion battery; cathode material; cubic structure; energy density

收稿日期: 2019-02-22; 收到修改稿日期: 2019-04-08

基金项目: 中国青年创新促进会科学基金(2017341) Youth Innovation Promotion Association CAS (2017341)

作者简介: 王武练(1991-), 男, 硕士研究生. E-mail: wangwulian@nimte.ac.cn

通讯作者: 刘兆平, 教授. E-mail: liuzp@nimte.ac.cn

能源和环境是当今人类生存与社会发展所必须应对的两个重大问题。随着煤炭、石油等化石资源的枯竭和环境的日益恶化，发展太阳能、风能和水能等可再生能源已经成为全球性趋势。为了将其安全高效地整合到电网中，大规模储能设备应运而生<sup>[1-2]</sup>。在各种储能技术中，电化学储能以其灵活便捷、能量转换效率高、成本低、设备维护简单等优点而被认为是最有发展前景的储能技术。锂离子电池具有比容量高、循环寿命长、工作电压高等特点，被广泛应用于便携式电子产品<sup>[3-4]</sup>，同时也被认为是电动汽车的最佳选择。尽管锂离子电池取得了巨大成功，但其使用的有机电解质毒性高，使用过程中存在易燃风险，并且地壳中锂资源有限、分布不均匀，成本较高。这些因素都限制了它在大规模储能方面的应用。因此，人们开始将注意力转移到水系电池，利用水系电解液代替有机电解液的电池体系，可进一步降低电池的生产成本、提高电池的安全性。水系电解液的离子电导率比有机电解液高2个数量级，因而水系电池通常具有更高的功率密度<sup>[5-6]</sup>。目前已发展的水系电池有：水系锂离子电池<sup>[7-10]</sup>、钠离子电池<sup>[11-13]</sup>、镁离子电池<sup>[14]</sup>、锌离子电池<sup>[15-17]</sup>和水系混合离子电池<sup>[18-22]</sup>。这些水系电池在实际应用中安全无风险且价格低廉，在大规模储能方面具有广阔的发展前景。

在众多水系电池中，水系钠离子电池优势明显，相对于锂、镁、锌，钠的天然丰度更高且钠离子电池成本更低<sup>[23-26]</sup>，成为了众多学者的研究热点。 $\text{Fe}_4[\text{Fe}(\text{CN})_6]_3(\text{FeHCF})$ 作为水系钠离子电池正极材料，具有优异的电化学性能。一方面，FeHCF带有的 $(\text{C}\equiv\text{N})^-$ 阴离子的开放性框架结构足够大，能保证离子的快速扩散<sup>[27-29]</sup>；另一方面，材料的合成方法经济简单，成功率高<sup>[28,30-33]</sup>。然而，普鲁士蓝化合物也可能会出现 $[\text{Fe}(\text{CN})_6]$ 的空位缺陷，从而导致晶格畸变，引起电子和 $\text{Na}^+$ 离子的转移，进一步导致电化学性能的衰退<sup>[31]</sup>。

本研究以 $\text{Na}_4\text{Fe}(\text{CN})_6$ 作为单一铁源，通过简单的水热法合成出高质量的 $\text{Fe}_4[\text{Fe}(\text{CN})_6]_3(\text{HQ-FeHCF})$ 纳米材料。另外用传统的方法合成出低质量的 $\text{Fe}_4[\text{Fe}(\text{CN})_6]_3(\text{LQ-FeHCF})$ 纳米材料作为对比，研究HQ-FeHCF和LQ-FeHCF的结构形貌特征和电化学性能。最后，以HQ-FeHCF为正极， $\text{NaTi}_2(\text{PO}_4)_3$ 为负极， $\text{NaClO}_4-\text{H}_2\text{O}-\text{聚乙二醇(PEG)}$ 为电解液，组装成水系钠离子全电池。

## 1 实验方法

### 1.1 仪器与试剂

采用输力强电化学工作站(Solartron 1470E multi-channel potentiostats)进行恒流充放电测试和循环伏安测试。XRD采用德国Bruker D8 advance-X射线衍射仪， $\text{Cu K}_\alpha$ 靶，管电压为40 kV，管电流为40 mA，扫描速率为 $7^\circ/\text{min}$ ， $2\theta$ 角范围为 $10^\circ\sim60^\circ$ 。使用日本日立S-4800扫描电子显微镜(SEM)观察样品的形貌和颗粒大小，发射电压为20 kV。使用日本电子株式会社JEM2100型透射电子显微镜(TEM)来观察材料内部显微结构以及晶体缺陷，并分析材料元素成分。

实验所用的化学试剂：盐酸、聚乙烯吡咯烷酮K-30、十水合亚铁氰化钠、六水合三氯化铁均为国药集团化学试剂有限公司生产，分析纯。

### 1.2 电极材料的制备

室温下，将4 g聚乙烯吡咯烷酮K-30(PVP)和0.126 g十水合亚铁氰化钠加入到50 mL pH=0.8的盐酸水溶液中，搅拌1 h，完全溶解后溶液呈黄色。然后将搅拌均匀的溶液放入80 °C烘箱中保温12 h。将降到室温的溶液进行离心分离得到沉淀并用去离子水洗涤，重复4次后，在80 °C烘箱中干燥8 h即得到HQ-FeHCF样品。

将2.7 g六水合三氯化铁和3.6 g十水合亚铁氰化钠分别加入到100 mL去离子水中，60 °C下搅拌至两种溶液完全溶解，然后将六水合三氯化铁盐溶液加入十水合亚铁氰化钠盐溶液中，生成大量深蓝色沉淀。60 °C下保温1 h后，将溶液进行离心分离得到沉淀，并用去离子水洗涤，重复4次后，在80 °C烘箱中干燥8 h，即得到LQ-FeHCF样品。

### 1.3 材料的电化学测试

将所制得的电极材料按照 $m(\text{活性物质}):m(\text{乙炔黑}):m(\text{聚偏氟乙烯(PVDF)})=75:15:10$ 的比例进行混合，加入适量N-甲基吡咯烷酮(NMP)搅拌8 h，然后将搅拌均匀的浆料涂抹在直径约为1.3 cm的圆形钛网上，在80 °C烘箱中烘干12 h，然后用压片机在10 MPa的压力下压成薄片，制成工作电极。以铂丝为对电极，氯化银为参比电极，组装成三电极体系，测试了HQ-FeHCF的充放电平台、倍率性能和循环稳定性。以直径为1.3 cm的HQ-FeHCF极片为正极(活性物质载量1.14 mg)， $\text{NaTi}_2(\text{PO}_4)_3$ 极片为负极(活性物质载量2.73 mg)，组成全电池进行恒流充放电性能测试，电池体系恒流充放电电压区间为0~2 V。电极放电容量和电池能量密度只按照活性物质的质

量计算。电解液采用  $\text{NaClO}_4 + \text{H}_2\text{O} + \text{Polyethylene glycol (PEG)}$  体系。

## 2 结果与讨论

### 2.1 材料的结构表征

图 1(a)为 HQ-FeHCF 和 LQ-FeHCF 的 XRD 图谱, 从图中可以看出, HQ-FeHCF 的所有衍射峰均与 JCPDS NO. 01-0239 卡片相符, 说明所合成的 HQ-FeHCF 具有面心立方(fcc)结构, 属于  $fm-3m$  空间点群,  $a=b=c=0.51 \text{ nm}$ ,  $\alpha=\beta=\gamma=90^\circ$ 。其中没有任何杂峰出现, 说明所合成的 HQ-FeHCF 纯度高, 其锐利的特征峰也说明通过添加 PVP 缓慢合成的 HQ-FeHCF 纳米材料结晶性优异, 具有典型的  $\text{Fe}_4[\text{Fe}(\text{CN})_6]_3$  晶体结构<sup>[34]</sup>。通过快速沉淀所制得的 LQ-FeHCF 衍射峰不尖锐, 表明其结晶性差。图 1(a)中右上角插图为 HQ-FeHCF 的晶胞结构示意图, 它是由开放型三维框架组成,  $\text{Fe}_1$  与六个氮原子相连接,  $\text{Fe}_2$  被氰化物配位的碳原子八面体包围。此开放框架结构中间留有大的间隙位点, 为  $\text{Na}^+$  的嵌入/脱出提供了足够大的空间<sup>[31, 35]</sup>。为了确定所合成材料中结晶水的含量, 对 HQ-FeHCF 和 LQ-FeHCF 进行了热重分析测试, 在  $\text{N}_2$  气氛下, 以  $10^\circ\text{C}/\text{min}$  的加热速率测得的结果如图 1(b)所示。30~200  $^\circ\text{C}$  阶段的失重, 对应着结晶水的去除; 200~400  $^\circ\text{C}$  阶段的失重,

对应着  $[\text{Fe}(\text{CN})_6]$  的分解。从图 1(b)中可看出 HQ-FeHCF 结晶水的含量为 13%, LQ-FeHCF 结晶水的含量为 18%。HQ-FeHCF 比 LQ-FeHCF 含有的结晶水更少, 这也表明 HQ-FeHCF 比 LQ-FeHCF 的  $[\text{Fe}(\text{CN})_6]$  空位缺陷更少<sup>[36]</sup>。为进一步精确测试材料中  $[\text{Fe}(\text{CN})_6]$  空位缺陷的含量, 对 HQ-FeHCF 和 LQ-FeHCF 进行了 XRD 精修处理, 如表 1、表 2 所示。在 HQ-FeHCF 中,  $\text{Fe}_2/\text{Fe}_1$  原子比为 0.91, 表明其存在 9% 的  $[\text{Fe}(\text{CN})_6]$  空位缺陷; 在 LQ-FeHCF 中,  $\text{Fe}_2/\text{Fe}_1$  原子比为 0.74, 表明  $[\text{Fe}(\text{CN})_6]$  空位缺陷含量为 26%。

图 2(a~b)为 HQ-FeHCF 在不同放大倍数下的 SEM 照片, 可清晰看出 HQ-FeHCF 为边长约 500 nm 的正方体结构, 正方体表面规则完整且样品颗粒分散良好、尺寸均匀、无严重堆积现象。图 2(c~d)为 LQ-FeHCF 在不同放大倍数下的 SEM 照片, 可看出 LQ-FeHCF 呈不规则颗粒状。这是因为快速的沉淀过程使得 LQ-FeHCF 不具有完整规则的结构面貌, 且存在大量无序的  $[\text{Fe}(\text{CN})_6]$  空位缺陷和结晶水, 也会导致 LQ-FeHCF 的电化学性能不佳。为进一步观察 HQ-FeHCF 和 LQ-FeHCF 的微观形貌, 对材料进行了 TEM 表征。如图 3(a)所示, 每个 HQ-FeHCF 纳米立方颗粒边缘光滑且形状完整, 无明显缺陷, 也说明所合成的 HQ-FeHCF 结晶性好, 质量高。如图 3(b)所示, LQ-FeHCF 颗粒大小不一且无规则的结构特

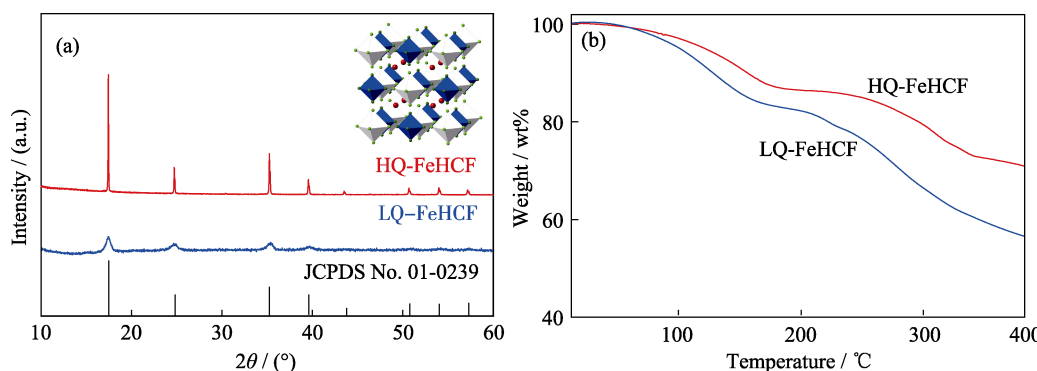


图 1 HQ-FeHCF 和 LQ-FeHCF 的(a)XRD 图谱和(b)TG 曲线, (a)中插图为 HQ-FeHCF 晶胞结构示意图

Fig. 1 (a) XRD patterns and (b)TG curves of HQ-FeHCF and LQ-FeHCF with inset in (a) showing crystal structure of HQ-FeHCF

表 1 HQ-FeHCF 的 XRD 精修数据

Table 1 Fractional coordinates of HQ-FeHCF determined from Rietveld method

Atom	Wyckoff position	<i>x</i>	<i>y</i>	<i>z</i>	Site occupancy
$\text{Fe}_1$	4a	0.0000	0	0	0.9790
$\text{Fe}_2$	4b	0.5000	0	0	0.8901
C	24e	0.2024	0	0	0.9771
N	24e	0.2988	0	0	0.9771

表 2 LQ-FeHCF 的 XRD 精修数据

Table 2 Fractional coordinates of LQ-FeHCF determined from Rietveld method

Atom	Wyckoff position	<i>x</i>	<i>y</i>	<i>z</i>	Site occupancy
$\text{Fe}_1$	4a	0.0000	0	0	0.8458
$\text{Fe}_2$	4b	0.5000	0	0	0.6262
C	24e	0.2260	0	0	0.8420
N	24e	0.3275	0	0	0.8420

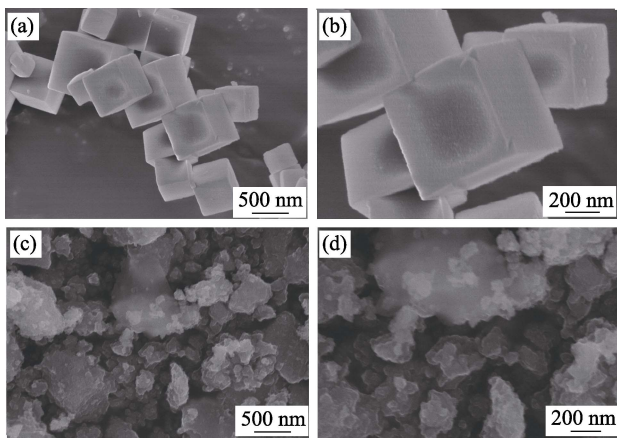


图2 (a~b)HQ-FeHCF 和(c~d)LQ-FeHCF 的SEM照片  
Fig. 2 SEM images of (a-b) HQ-FeHCF and (c-d) LQ-FeHCF

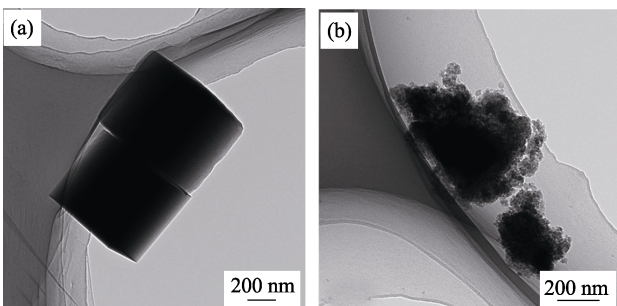


图3 (a)HQ-FeHCF 和(b)LQ-FeHCF 的TEM照片  
Fig. 3 TEM images of (a) HQ-FeHCF and (b) LQ-FeHCF

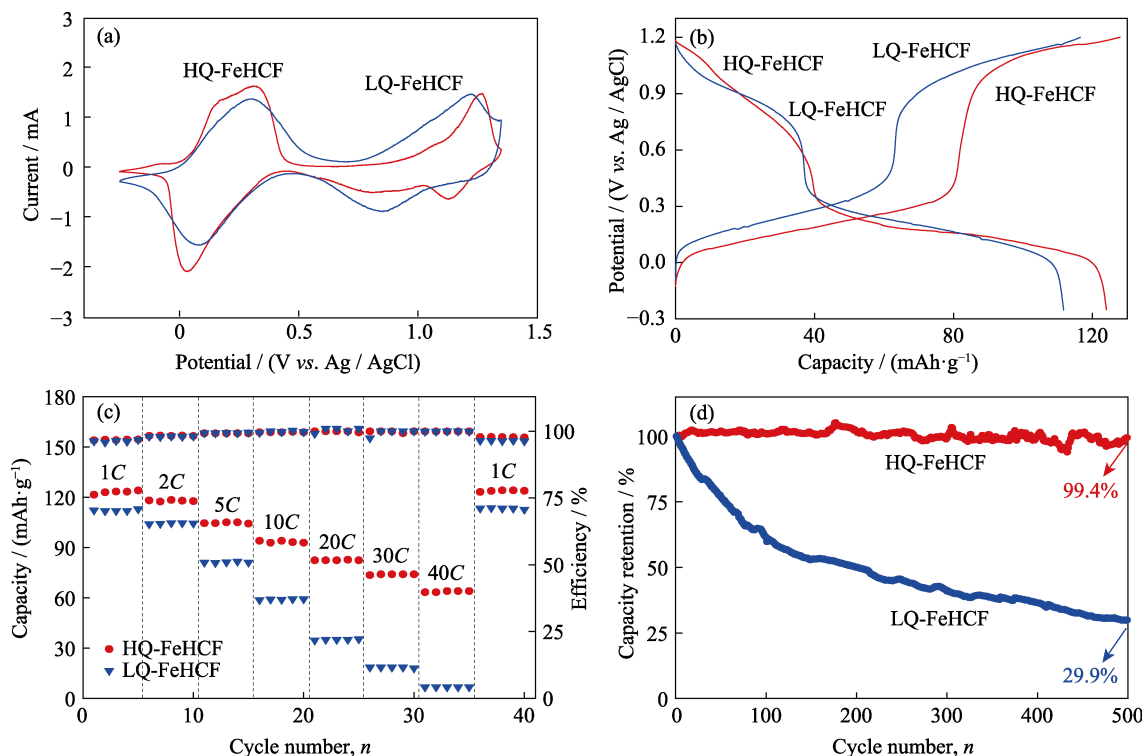


图4 (a)HQ-FeHCF 和 LQ-FeHCF 在 Na-H<sub>2</sub>O-PEG 电解液中以  $1 \text{ mV}\cdot\text{s}^{-1}$  的扫速测得的循环伏安曲线; (b)HQ-FeHCF 和 LQ-FeHCF 在 1C 倍率下的充放电曲线; (c)HQ-FeHCF 和 LQ-FeHCF 的倍率性能; (d)HQ-FeHCF 和 LQ-FeHCF 的循环性能  
Fig. 4 (a) Cyclic voltammogram (CV) curves of HQ-FeHCF and LQ-FeHCF at the sweep rate of  $1 \text{ mV}\cdot\text{s}^{-1}$  in the electrolyte of Na-H<sub>2</sub>O-PEG; (b) Charge and discharge curves of HQ-FeHCF and LQ-FeHCF at 1C;  
(c) Rate performance of HQ-FeHCF and LQ-FeHCF; (d) Cycling performance of HQ-FeHCF and LQ-FeHCF

征, 这与图2中LQ-FeHCF的SEM照片相吻合, 表明LQ-FeHCF结晶性差、质量低、缺陷多。

## 2.2 电化学性能测试

首先, 采用三电极体系测试了 HQ-FeHCF 和 LQ-FeHCF 在 Na-H<sub>2</sub>O-PEG 电解液中的电化学性能。图4(a)为 HQ-FeHCF 和 LQ-FeHCF 在 Na-H<sub>2</sub>O-PEG 电解液中的循环伏安曲线, 扫描速率为  $1 \text{ mV}\cdot\text{s}^{-1}$ 。从图中可以清晰地观察到 HQ-FeHCF 出现两对独立的氧化还原峰, 表明发生了两次氧化还原反应, 对应了两个  $\text{Na}^+$  的可逆嵌入/脱出<sup>[37]</sup>。第一对氧化还原峰出现在 0.03 和 0.28 V, 对应于与碳原子相连接的高自旋  $\text{Fe}^{\text{III}}/\text{Fe}^{\text{II}}$  离子的还原和氧化, 第二对氧化还原峰出现在 1.12 和 1.26 V, 对应于与氮原子键合的低自旋  $\text{Fe}^{\text{III}}/\text{Fe}^{\text{II}}$  离子的还原和氧化<sup>[35, 38]</sup>。在相同扫描速率下, LQ-FeHCF 与 HQ-FeHCF 的 CV 曲线相类似。图4(b)为 HQ-FeHCF 和 LQ-FeHCF 在 1C ( $1\text{C}=120 \text{ mA}\cdot\text{g}^{-1}$ ) 倍率下的恒流充放电曲线。从图中可明显看出, HQ-FeHCF 在充放电过程中各出现 2 个电压平台, 表明  $\text{Na}^+$  的嵌入/脱出是分两步完成的, 这与图4(a)中出现的两对氧化还原峰相对应。LQ-FeHCF 显示出与 HQ-FeHCF 相类似的充放电曲线, 但其放电容量明显小于 HQ-FeHCF。图4(c)是 HQ-FeHCF 和 LQ-FeHCF 的倍率性能, 从图中可看

出 HQ-FeHCF 在 1C、2C、5C、10C、20C、30C 和 40C 倍率下的比容量分别为 124、118、105、94、83、74 和 63  $\text{mAh}\cdot\text{g}^{-1}$ , 值得注意的是, 当再次回到 1C 时, 容量又恢复到 124  $\text{mAh}\cdot\text{g}^{-1}$ , 显示出了极佳的倍率性能。HQ-FeHCF 之所以有如此好的倍率性能, 有两个原因: 第一, 采用本文中的方法所合成出的 HQ-FeHCF 材料质量高、空位缺陷少, 从而确保了  $\text{Na}^+$  的高效传输; 第二, 材料的大通道结构缩短了  $\text{Na}^+$  的传输路径。此外, 通过添加 PVP 缓慢合成的 HQ-FeHCF 结构十分稳定, 大倍率下的充放电循环也没有使 HQ-FeHCF 的结构坍塌从而出现电化学性能下降。LQ-FeHCF 在 1C、2C、5C、10C、20C、30C 和 40C 倍率下的比容量分别为 112、104、81、59、35、18 和 7  $\text{mAh}\cdot\text{g}^{-1}$ , 整体倍率性能较之 HQ-FeHCF 要差, 特别是在大倍率下, 差距尤为明显, 这是因为 LQ-FeHCF 没有稳定的结构, 且其晶体内部存在大量的  $[\text{Fe}(\text{CN})_6]$  空位缺陷和结晶水, 阻碍了  $\text{Na}^+$  的脱嵌从而导致 LQ-FeHCF 在大倍率下比容量极低。

循环稳定性是水系钠离子电池在实际应用中的一个重要参数。5C 倍率下 HQ-FeHCF 和 LQ-FeHCF 的循环性能如图 4(d)所示。LQ-FeHCF 在第一个循环中的放电容量为 87  $\text{mAh}\cdot\text{g}^{-1}$ , 但是其容量随着循环次数的增加而快速下降, 100 个循环后, 其容量保持率为 61%, 500 个循环后, 其容量只有 26  $\text{mAh}\cdot\text{g}^{-1}$ , 对应的容量保持率为 29.9%。HQ-FeHCF 则显示出了极其优异的循环稳定性, 100 个循环后, HQ-FeHCF 的容量没有明显的下降, 维持着 100% 的容量保持率, 直到第 500 次循环, 容量保持率仍高达 99.4%。值得注意的是, HQ-FeHCF 的循环稳定性不仅远超 LQ-FeHCF, 甚至优于文献[30, 38]报道的有机系 FeHCF 阴极材料。

为进一步验证 HQ-FeHCF 在 Na-H<sub>2</sub>O-PEG 电解液中的稳定性, 分别将循环 100 圈和 500 圈后的极片进行 SEM 观察。如图 5 所示, 图 5(a~b)为 HQ-FeHCF 在 Na-H<sub>2</sub>O-PEG 电解液中 5C 恒流充放电 100 次后的 SEM 照片, 从图中可清晰看出, 每个 HQ-FeHCF 纳米立方体颗粒都保持了高度完整性, 几乎没有任何结构的破坏, 颗粒表面无缺陷产生。图 5(c~d)为 HQ-FeHCF 在 Na-H<sub>2</sub>O-PEG 电解液中 5C 恒流充放电 500 次后的 SEM 照片, 每个 HQ-FeHCF 纳米立方体颗粒同样保持高度完整, 无任何结构变形或坍塌。将循环 500 次后的极片进行 TG 测试, 如图 6 所示, HQ-FeHCF 结晶水的含量为 13%, 较循环前无明显变化; LQ-FeHCF 结晶水的含量为 20%, 较循环前增加了 2%。

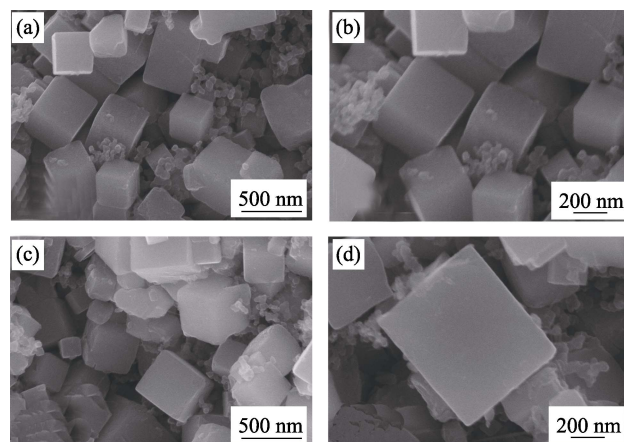


图 5 循环(a~b)100 次和(c~d)500 次后 HQ-FeHCF 的 SEM 照片

Fig. 5 SEM images of HQ-FeHCF after (a-b)100 and (c-d) 500 cycles

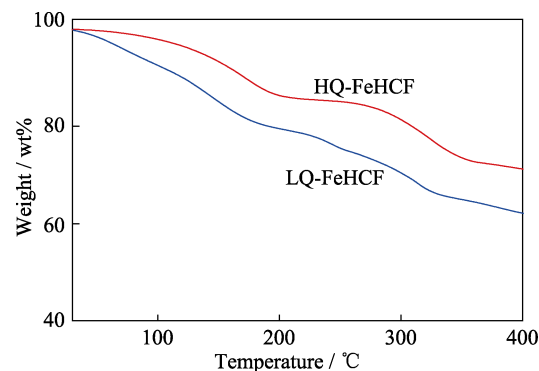


图 6 循环 500 次后 HQ-FeHCF 和 LQ-FeHCF 的 TG 曲线  
Fig. 6 TG curves of HQ-FeHCF and LQ-FeHCF after 500 cycles

采用非原位 XRD 技术研究了 HQ-FeHCF 材料在电化学反应过程中的相变机制。图 7 是在不同充放电状态下材料的 XRD 图谱, a~e 为充电过程, f~i 为放电过程, 其中圆点处标记的为 Ti 的衍射峰。以虚线框中的一组衍射峰为例, 从图中可明显看出 a~e 过程中 XRD 衍射峰向  $2\theta$  增大方向偏移, 由  $24.3^\circ$  增大到  $24.6^\circ$ , 这是因为充电过程  $\text{Na}^+$  从 HQ-FeHCF

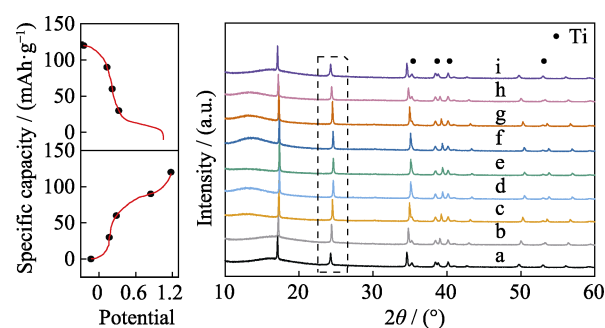


图 7 不同荷电状态下 HQ-FeHCF 的 XRD 图谱

Fig. 7 *Ex situ* XRD patterns of HQ-FeHCF material at various states of charge and discharge

中脱出从而引起晶格收缩。此过程中的晶胞体积变化约为8.1%。f-i过程中XRD衍射峰向 $2\theta$ 减小方向偏移,又重新回到 $24.3^\circ$ ,这是因为在放电过程中 $\text{Na}^+$ 又重新嵌入HQ-FeHCF从而引起晶格膨胀。值得注意的是,a和i衍射峰的位置高度重合,表明 $\text{Na}^+$ 在HQ-FeHCF材料中的脱嵌是高度可逆的,并且 $\text{Na}^+$ 的可逆脱嵌并不会破坏材料的晶体结构,也说明HQ-FeHCF在Na-H<sub>2</sub>O-PEG电解液中的稳定性高。

NASICON型 $\text{NaTi}_2(\text{PO}_4)_3$ 具有适合钠离子扩散的开放型三维结构,因此 $\text{NaTi}_2(\text{PO}_4)_3$ 既可以用作有机系钠离子电池电极材料,也可以用作水系钠离子电池电极材料。通过先前的方法制得 $\text{NaTi}_2(\text{PO}_4)_3$ ,采用循环伏安法(CV)和恒流充放电研究了其在Na-H<sub>2</sub>O-PEG电解液中的电化学性质。图8(a)显示了 $\text{NaTi}_2(\text{PO}_4)_3$ 在 $1\text{ mV}\cdot\text{s}^{-1}$ 扫速下的CV曲线,在 $-0.64$ 和 $-0.79\text{ V}$ (vs. Ag / AgCl)处有一对尖锐的氧化还原峰,对应着 $\text{Na}^+$ 的嵌入/脱出,并伴随着 $\text{Ti}^{3+}$ 和 $\text{Ti}^{4+}$ 之间的可逆转换。 $\text{NaTi}_2(\text{PO}_4)_3$ 的电压分布如图8(b)所示, $-0.69\text{ V}$ (vs. Ag/AgCl)处平坦的放电平台表明 $\text{NaTi}_2(\text{PO}_4)_3$ 是良好的水系钠离子电池负极材料。

基于HQ-FeHCF和 $\text{NaTi}_2(\text{PO}_4)_3$ 良好的电化学

性能,组装了以HQ-FeHCF为正极, $\text{NaTi}_2(\text{PO}_4)_3$ 为负极,NaClO<sub>4</sub>-H<sub>2</sub>O-PEG为电解液的水系钠离子全电池。图8(b)显示了正极、负极和全电池在1C倍率下的电压曲线,从图中可看出全电池的工作电压高达1.9V。高的工作电压有利于提高全电池的能量密度,基于活性物质的质量计算所得到的全电池能量密度高达 $126\text{ Wh}\cdot\text{kg}^{-1}$ ,超越了多数之前所报道的以锰氧化物、磷酸盐以及普鲁士蓝为正极材料的水系钠离子全电池能量密度,具体对比如表3所示。如图8(c)所示,在1C、2C、5C、10C、20C和30C的倍率下,全电池的容量分别为117、113、110、86、68和57 $\text{ mAh}\cdot\text{g}^{-1}$ ,显示出优异的倍率性能。图8(d)为5C倍率下全电池的循环性能。在前70次循环中,全电池的容量略有增加,库伦效率从第一圈的96%逐渐升高为接近100%的水平。随后的70次循环中,容量开始缓慢下降,直到第140圈,全电池的容量保持率为92%,且库伦效率一直维持接近100%的水平。尽管全电池的截止充电电压高达2V,远远超过了水的理论分解电压(1.23V),但还能维持高库伦效率,显示了Na-H<sub>2</sub>O-PEG电解液在水系钠离子电池中的优势。

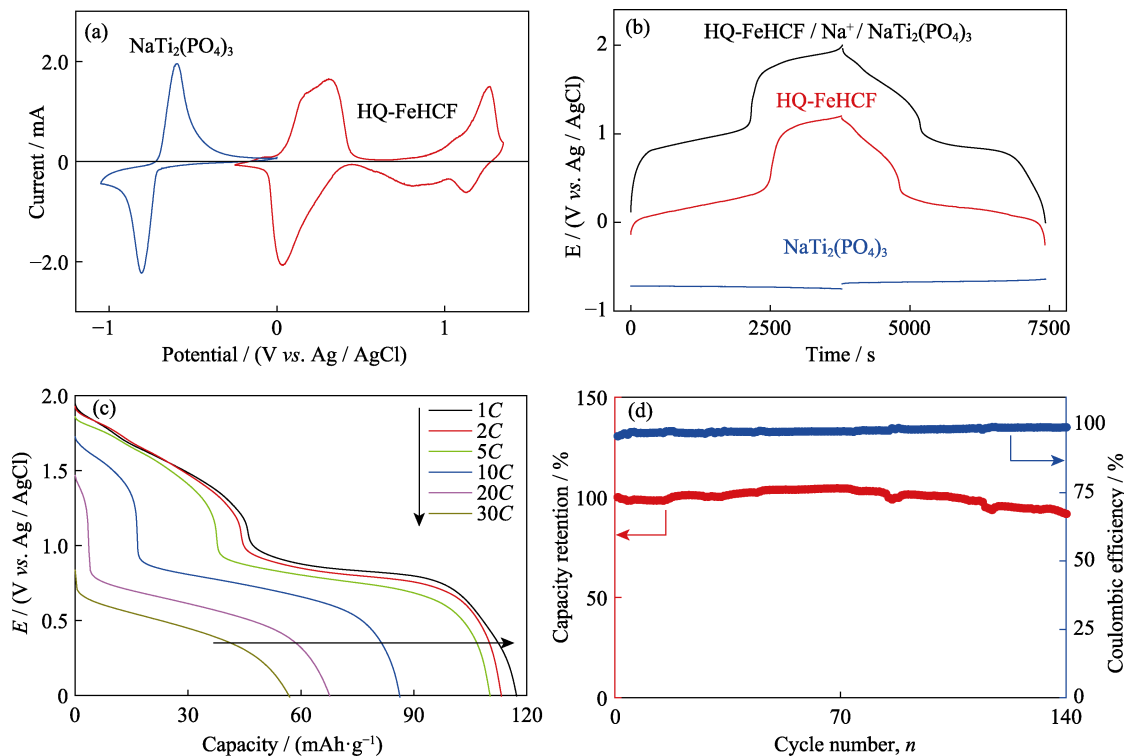


图8 (a) HQ-FeHCF 和  $\text{NaTi}_2(\text{PO}_4)_3$  在 Na-H<sub>2</sub>O-PEG 电解液中以  $1\text{ mV}\cdot\text{s}^{-1}$  的扫速测得的循环伏安曲线;  
(b) 1C 倍率下正极、负极和全电池的衡流充放电曲线;全电池的(c)倍率性能和(d)循环性能

Fig. 8 (a) Cyclic voltammogram (CV) curves of HQ-FeHCF and  $\text{NaTi}_2(\text{PO}_4)_3$  at the sweep rate of  $1\text{ mV}\cdot\text{s}^{-1}$  in the electrolyte of Na-H<sub>2</sub>O-PEG; (b) Galvanostatic charge-discharge profiles at 1C for full cell, cathode, and anode in the electrolyte of Na-H<sub>2</sub>O-PEG; (c) Rate performance and (d) cycling performance of full cell

**表 3 不同水系钠离子全电池的能量密度对比**  
**Table 3 Energy density of different aqueous sodium-ion batteries**

Cathode	Anode	Energy density/ (Wh·kg <sup>-1</sup> )	Ref.
$\text{Na}_{0.44}\text{MnO}_2$	$\text{NaTi}_2(\text{PO}_4)_3$	33	[39]
$\text{Na}_2\text{Ni}[\text{Fe}(\text{CN})_6]$	$\text{NaTi}_2(\text{PO}_4)_3$	43	[13]
$\text{Na}_2\text{Cu}[\text{Fe}(\text{CN})_6]$	$\text{NaTi}_2(\text{PO}_4)_3$	48	[40]
$\text{NaMnO}_2$	$\text{NaTi}_2(\text{PO}_4)_3$	30	[12]
$\text{K}_{0.27}\text{MnO}_2$	$\text{NaTi}_2(\text{PO}_4)_3$	55	[41]
$\text{NaFePO}_4$	$\text{NaTi}_2(\text{PO}_4)_3$	61	[42]
$\text{Na}_2\text{VTi}(\text{PO}_4)_3$	$\text{NaTi}_2(\text{PO}_4)_3$	68	[43]
$\text{Na}_3\text{MnTi}(\text{PO}_4)_3$	$\text{NaTi}_2(\text{PO}_4)_3$	82	[44]
$\text{Na}_{0.66}\text{Mn}_{0.66}\text{Ti}_{0.34}\text{O}_2$	$\text{NaTi}_2(\text{PO}_4)_3$	76	[45]
$\text{Na}_2\text{Ni}_{0.4}\text{Co}_{0.6}[\text{Fe}(\text{CN})_6]$	$\text{NaTi}_2(\text{PO}_4)_3$	121	[46]
$\text{Fe}_4[\text{Fe}(\text{CN})_6]_3$	$\text{NaTi}_2(\text{PO}_4)_3$	126	This work

### 3 结论

本研究通过简单便捷的水热法, 成功合成出高质量、低缺陷的  $\text{Fe}_4[\text{Fe}(\text{CN})_6]_3$  纳米材料。XRD 测试结果表明材料为面心立方(fcc)结构, 属于  $Fm-3m$  空间点群。SEM 和 TEM 测试结果表明, 所合成出的  $\text{Fe}_4[\text{Fe}(\text{CN})_6]_3$  结晶性优异, 材料呈典型的立方体结构, 边长约 500 nm, 材料表面光滑均匀且无严重堆积现象。相比用传统方法合成的低质量  $\text{Fe}_4[\text{Fe}(\text{CN})_6]_3$ , 本文合成的  $\text{Fe}_4[\text{Fe}(\text{CN})_6]_3$  有效减少了空位缺陷并且调节了材料中的结晶水, 从而使得材料具有优异的电化学性能: 1C 倍率下的比容量高达 124 mAh·g<sup>-1</sup>, 2C、5C、10C、20C、30C 和 40C 倍率下的比容量分别为 124、118、105、94、83、74 和 64 mAh·g<sup>-1</sup>, 表现出优异的倍率性能; 以 5C 倍率循环 500 次, 容量保持率接近 100%, 表现出极佳的循环稳定性。以  $\text{Fe}_4[\text{Fe}(\text{CN})_6]_3$  和磷酸钛钠分别为正负极的全电池的工作电压高达 1.9 V, 能量密度可达到 126 Wh·kg<sup>-1</sup>。在 5C 倍率下恒流充放电 140 次后全电池容量保持率为 92%, 且库伦效率接近 100%。以这种环保、便捷的方法合成的  $\text{Fe}_4[\text{Fe}(\text{CN})_6]_3$  有望用作水系钠离子电池的正极材料。

### 参考文献:

- CHEN L, SHAO H Z, ZHOU X F, et al. Water-mediated cation intercalation of open-framework indium hexacyanoferrate with high voltage and fast kinetics. *Nature Communications*, 2016, **7**: 11982.
- ZHANG L Y, CHEN L, ZHOU X F, et al. Towards high-voltage aqueous metal-ion batteries beyond 1.5 V: the zinc/zinc hexacyanoferrate system. *Advanced Energy Materials*, 2015, **5**(2): 1400930.
- ZU C X, LI H. Thermodynamic analysis on energy densities of batteries. *Energy & Environmental Science*, 2011, **4**(8): 2614–2624.
- SUO L M, HU Y S, LI H, et al. A new class of solvent-in-salt electrolyte for high-energy rechargeable metallic lithium batteries. *Nature Communications*, 2013, **4**: 1481.
- SUO L M, BORODIN O, GAO T, et al. "Water-in-salt" electrolyte enables high-voltage aqueous lithium-ion chemistries. *Science*, 2015, **350**(6263): 938–943.
- YAN J, WANG J, LIU H, et al. Rechargeable hybrid aqueous batteries. *Journal of Power Sources*, 2012, **216**: 222–226.
- WANG Y G, YI J, XIA Y Y. Recent progress in aqueous lithium-ion batteries. *Advanced Energy Materials*, 2012, **2**(7): 830–840.
- LUO J Y, CUI W J, HE P, et al. Raising the cycling stability of aqueous lithium-ion batteries by eliminating oxygen in the electrolyte. *Nature Chemistry*, 2010, **2**(9): 760–765.
- LUO J Y, XIA Y Y. Aqueous lithium-ion battery  $\text{LiTi}_2(\text{PO}_4)_3/\text{LiMn}_2\text{O}_4$  with high power and energy densities as well as superior cycling stability. *Advanced Functional Materials*, 2007, **17**(18): 3877–3884.
- WANG Y G, LOU J Y, WU W, et al. Hybrid aqueous energy storage cells using activated carbon and lithium-ion intercalated compounds III capacity fading mechanism of  $\text{LiCo}_{1/3}\text{Ni}_{1/3}\text{Mn}_{1/3}\text{O}_2$  at different pH electrolyte solutions. *Journal of the Electrochemical Society*, 2007, **154**(3): A228–A234.
- KIM D J, JUNG Y H, BHARATHI K K, et al. An aqueous sodium ion hybrid battery incorporating an organic compound and a Prussian blue derivative. *Advanced Energy Materials*, 2014, **4**(12): 1400133.
- HOU Z G, LI X N, LIANG J W, et al. An aqueous rechargeable sodium ion battery based on a  $\text{NaMnO}_2\text{-NaTi}_2(\text{PO}_4)_3$  hybrid system for stationary energy storage. *Journal of Materials Chemistry A*, 2015, **3**(4): 1400–1404.
- WU X Y, CAO Y L, AI X P, et al. A low-cost and environmentally benign aqueous rechargeable sodium-ion battery based on  $\text{NaTi}_2(\text{PO}_4)_3\text{-Na}_2\text{NiFe}(\text{CN})_6$  intercalation chemistry. *Electrochemistry Communications*, 2013, **31**: 145–148.
- SUN X Q, DUFFORT V, MEHDY B L, et al. Investigation of the mechanism of Mg insertion in birnessite in nonaqueous and aqueous rechargeable Mg-ion batteries. *Chemistry of Materials*, 2016, **28**(2): 534–542.
- CHENG Y W, LUO L L, ZHONG L, et al. Highly reversible zinc-ion intercalation into chevrel phase  $\text{Mo}_6\text{S}_8$  nanocubes and applications for advanced zinc-ion batteries. *ACS Applied Materials & Interfaces*, 2016, **8**(22): 13673–13677.
- TROCOLI R, LA MANTIA F. An aqueous zinc-ion battery based on copper hexacyanoferrate. *ChemSusChem*, 2015, **8**(3): 481–485.
- XU C J, LI B H, DU H D, et al. Energetic zinc ion chemistry: the rechargeable zinc ion battery. *Angewandte Chemie-International Edition*, 2012, **51**(4): 933–935.
- WANG X W, WANG F X, WANG L Y, et al. An aqueous rechargeable  $\text{Zn//Co}_3\text{O}_4$  battery with high energy density and good cycling behavior. *Advanced Materials*, 2016, **28**(24): 4904–4911.
- LIU Z, PULETICKURTHI G, ENDRES F. A prussian blue/zinc secondary battery with a bio-ionic liquid-water mixture as electrolyte. *ACS Applied Materials & Interfaces*, 2016, **8**(19): 12158–12164.
- ZHAO J W, LI Y Q, PENG X, et al. High-voltage  $\text{Zn/LiMn}_{0.8}\text{Fe}_{0.2}\text{PO}_4$  aqueous rechargeable battery by virtue of "water-in-salt" electrolyte. *Electrochemistry Communications*, 2016, **69**: 6–10.
- LU K, SONG B, ZHANG J T, et al. A rechargeable Na-Zn hybrid aqueous battery fabricated with nickel hexacyanoferrate and nanostructured zinc. *Journal of Power Sources*, 2016, **321**: 257–263.
- HU P, WANG T S, ZHAO J W, et al. Ultrafast alkaline Ni/Zn bat-

- terry based on Ni-foam-supported  $\text{Ni}_3\text{S}_2$  nanosheets. *ACS Applied Materials & Interfaces*, 2015, **7(48)**: 26396–26399.
- [23] KE L L, DONG J, LIN B, et al. A  $\text{NaV}_3(\text{PO}_4)_3@\text{C}$  hierarchical nanofiber in high alignment: exploring a novel high-performance anode for aqueous rechargeable sodium batteries. *Nanoscale*, 2017, **9(12)**: 4183–4190.
- [24] WU X Y, SUN M Y, GUO S M, et al. Vacancy-free prussian blue nanocrystals with high capacity and superior cyclability for aqueous sodium-ion batteries. *ChemNanoMat*, 2015, **1(3)**: 188–193.
- [25] YUAN S, ZHU Y H, LI W, et al. Surfactant-free aqueous synthesis of pure single-crystalline SnSe nanosheet clusters as anode for high energy-and power-density sodium-ion batteries. *Advanced Materials*, 2017, **29(4)**: 6.
- [26] JIANG P, SHAO H Z, CHEN L, et al. Ion-selective copper hexacyanoferrate with an open-framework structure enables high-voltage aqueous mixed-ion batteries. *Journal of Materials Chemistry A*, 2017, **5(32)**: 16740–16747.
- [27] LU Y H, WANG L, CHENG J G, et al. Prussian blue: a new framework of electrode materials for sodium batteries. *Chemical Communications*, 2012, **48(52)**: 6544–6546.
- [28] YOU Y, YU X Q, YIN Y X, et al. Sodium iron hexacyanoferrate with high Na content as a Na-rich cathode material for Na-ion batteries. *Nano Research*, 2015, **8(1)**: 117–128.
- [29] WESSELLS C D, HUGGINS R A, CUI Y. Copper hexacyanoferrate battery electrodes with long cycle life and high power. *Nature Communications*, 2011, **2**: 550.
- [30] WANG L, LU Y H, LIU J, et al. A superior low-cost cathode for a Na-ion battery. *Angewandte Chemie-International Edition*, 2013, **52(7)**: 1964–1967.
- [31] YOU Y, WU X L, YIN Y X, et al. High-quality prussian blue crystals as superior cathode materials for room-temperature sodium-ion batteries. *Energy & Environmental Science*, 2014, **7(5)**: 1643–1647.
- [32] YUE Y F, BINDER A J, GUO B K, et al. Mesoporous prussian blue analogues: template-free synthesis and sodium-ion battery applications. *Angewandte Chemie-International Edition*, 2014, **53(12)**: 3134–3137.
- [33] WESSELLS C D, PEDDADA S V, HUGGINS R A, et al. Nickel hexacyanoferrate nanoparticle electrodes for aqueous sodium and potassium ion batteries. *Nano Letters*, 2011, **11(12)**: 5421–5425.
- [34] ZHANG L, WU H B, MADHAVI S, et al. Formation of  $\text{Fe}_2\text{O}_3$  microboxes with hierarchical shell structures from metal-organic frameworks and their lithium storage properties. *Journal of the American Chemical Society*, 2012, **134(42)**: 17388–17391.
- [35] WU X Y, LUO Y, SUN M Y, et al. Low-defect prussian blue nanocubes as high capacity and long life cathodes for aqueous Na-ion batteries. *Nano Energy*, 2015, **13**: 117–123.
- [36] WU X Y, WU C H, WEI C X, et al. Highly crystallized  $\text{Na}_2\text{CoFe}(\text{CN})_6$  with suppressed lattice defects as superior cathode material for sodium-ion batteries. *ACS Applied Materials & Interfaces*, 2016, **8(8)**: 5393–5399.
- [37] PADIGI P, THIEBES J, SWAN M, et al. Prussian green: a high rate capacity cathode for potassium ion batteries. *Electrochimica Acta*, 2015, **166**: 32–39.
- [38] YANG D Z, XU J, LIAO X Z, et al. Prussian blue without coordinated water as a superior cathode for sodium-ion batteries. *Chemical Communications*, 2015, **51(38)**: 8181–8184.
- [39] LI Z, YOUNG D, XIANG K, et al. Towards high power high energy aqueous sodium-ion batteries: the  $\text{NaTi}_2(\text{PO}_4)_3/\text{Na}_{0.44}\text{MnO}_2$  system. *Advanced Energy Materials*, 2013, **3(3)**: 290–294.
- [40] WU X Y, SUN M Y, SHEN Y F, et al. Energetic aqueous rechargeable sodium-ion battery based on  $\text{Na}_2\text{CuFe}(\text{CN})_6\text{-NaTi}_2(\text{PO}_4)_3$  intercalation chemistry. *ChemSusChem*, 2014, **7(2)**: 407–411.
- [41] LIU Y, QIAO Y, ZHANG W X, et al. High-performance aqueous sodium-ion batteries with  $\text{K}_{0.27}\text{MnO}_2$  cathode and their sodium storage mechanism. *Nano Energy*, 2014, **5**: 97–104.
- [42] FERNANDEZ-ROPERO A J, SAUREL D, ACEBEDO B, et al. Electrochemical characterization of  $\text{NaFePO}_4$  as positive electrode in aqueous sodium-ion batteries. *Journal of Power Sources*, 2015, **291**: 40–45.
- [43] WANG H B, ZHANG T R, CHEN C, et al. High-performance aqueous symmetric sodium-ion battery using NASICON-structured  $\text{Na}_2\text{VTi}(\text{PO}_4)_3$ . *Nano Research*, 2018, **11(1)**: 490–498.
- [44] GAO H C, GOODENOUGH J B. An aqueous symmetric sodium-ion battery with NASICON-structured  $\text{Na}_3\text{MnTi}(\text{PO}_4)_3$ . *Angewandte Chemie-International Edition*, 2016, **55(41)**: 12768–12772.
- [45] WANG Y S, MU L Q, LIU J, et al. A novel high capacity positive electrode material with tunnel-type structure for aqueous sodium-ion batteries. *Advanced Energy Materials*, 2015, **5(22)**: 8.
- [46] LI W F, ZHANG F, XIANG X D, et al. Electrochemical properties and redox mechanism of  $\text{Na}_2\text{Ni}_{0.4}\text{Co}_{0.6}\text{Fe}(\text{CN})_6$  nanocrystallites as high-capacity cathode for aqueous sodium-ion batteries. *Journal of Physical Chemistry C*, 2017, **121(50)**: 27805–27812.